

**ТЯГА СОПЛА ПРИ ЦИРКУЛЯЦИОННОМ ИСТЕЧЕНИИ  
ВИХРЕВОГО ПОТОКА ГАЗА**

**Ю. А. ГОСТИНЦЕВ, В. М. ЗАЙЦЕВ, С. С. НОВИКОВ**

(*Москва*)

Наличие циркуляции у вытекающего газа приводит к изменению рабочих характеристик сопла. Вопрос о расходе и тяге сопла без диффузора (очко) для завихренных потоков изучен теоретически и экспериментально [1–6]. Применение сопел со сверхзвуковой частью вносит существенное усложнение в методику аналитического расчета тяговых характеристик и программу их экспериментального исследования. В [2, 7] сформулирована теория сопла для модели потенциального циркуляционного течения газа, в [5, 8] с использованием ЭВМ решалась полная система уравнений газовой динамики для движения вращающегося потока по соплу, в [7, 9] исследовалась вариационная задача профилирования диффузора для циркуляционного потока. Расчет тяги, выполненный в упомянутых работах (за исключением [2], где изучалась частная модель безвихревого вращательного движения), сопряжен с трудоемкими вычислениями на ЭВМ.

В данной статье, в развитие работ [3, 6], сформулирована и экспериментально проверена квазидномерная теория сверхзвукового сопла для вихревого потока газа.

Рассмотрим вихревой осесимметричный изэнтропический и изоэнергетический поток вращающегося газа в сопле. Система уравнений, описывающих такой поток, запишется в виде [3, 6]

$$(1) \quad \begin{aligned} & \frac{\partial}{\partial \xi} \left( \frac{1}{m\xi} \frac{\partial \Phi}{\partial \xi} \right) + \varepsilon^2 \frac{\partial}{\partial \zeta} \left( \frac{1}{m\xi} \frac{\partial \Phi}{\partial \zeta} \right) + \frac{m\Phi}{\xi} = 0 \\ & \frac{\partial F}{\partial \xi} \frac{\partial \Phi}{\partial \zeta} - \frac{\partial F}{\partial \zeta} \frac{\partial \Phi}{\partial \xi} = 0 \quad (\xi = \xi_1(\zeta)), \quad \Phi = 0 \quad (\xi = 0) \\ & \frac{1}{\xi m} \frac{\partial \Phi}{\partial \xi} = \tilde{v}_z, \quad \frac{\varepsilon}{m\xi} \frac{\partial \Phi}{\partial \zeta} = -\tilde{v}_r, \quad \Phi = \tilde{v}_{\varphi}\xi \\ & \frac{D(\rho/m, \Phi)}{D(\xi, \zeta)} = \frac{\partial(\rho/m)}{\partial \xi} \frac{\partial \Phi}{\partial \zeta} - \frac{\partial(\rho/m)}{\partial \zeta} \frac{\partial \Phi}{\partial \xi} = 0 \\ & H_t = \frac{v^2}{2} + \int \frac{dp}{\rho} = \text{const}, \quad \frac{p}{\rho^t} = \frac{p_t}{\rho_t^t}, \quad p = \rho RT \\ & \xi = \frac{r}{R_*}, \quad \zeta = \frac{z}{L}, \quad \xi_{\perp} = \frac{R}{R_*}, \quad \Phi = \frac{\Gamma}{R_* v_{\max}} = \frac{\Gamma}{\Gamma_0} \alpha_* \\ & v_{\max} = a_t \sqrt{\frac{2}{\gamma-1}}, \quad \alpha_* = \frac{\Gamma_0}{R_* v_{\max}} = \frac{v_{\varphi*}}{v_{\max}} \\ & \tilde{v}_i = \frac{v_i}{v_{\max}} (i = z, \varphi, r), \quad m = \lambda R_*, \quad \varepsilon = \frac{R_*}{L} \end{aligned}$$

Здесь  $R_*$ ,  $R$  и  $L$  — радиус критического сечения, текущий радиус стени сопла и длина диффузора; величина  $\lambda$  определяется соотношением винтообразности  $\text{rot } \mathbf{v} = \lambda \mathbf{v}$ ;  $\Gamma = v_{\varphi} r$  — циркуляция ( $\Gamma_0$  — ее значение на стен-

ке);  $F(\xi, \zeta)$  — уравнение профиля сверхзвуковой части сопла;  $\rho$  и  $p$  — плотность и давление;  $H_t$  — энталпия потока.

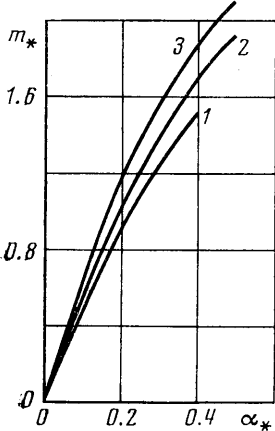
Для диффузоров с малым углом раскрытия параметр  $\varepsilon$  мал, и в (1) можно пренебречь производными по  $\zeta$  (квазицилиндрическое приближение). Тогда

$$(2) \quad \frac{\partial}{\partial \xi} \left( \frac{1}{m\xi} \frac{\partial \Phi}{\partial \xi} \right) + \frac{m\Phi}{\xi} = 0 \quad \Phi = \alpha_* \quad (\xi = \xi_1(\zeta)), \quad \Phi = 0 \quad (\xi = 0)$$

Если напряженность вихревого движения постоянна в каждом поперечном сечении потока  $m = m(\xi)$ , то решение (2) будет зависеть от продольной координаты только параметрически и

$$(3) \quad \Phi = \frac{\alpha_* \xi}{\xi_1} \frac{J_1(m\xi)}{J_1(m\xi_1)}, \quad \frac{v_\phi}{v_{\max}} = \frac{\alpha_*}{\xi_1} \frac{J_1(m\xi)}{J_1(m\xi_1)}, \quad \frac{v_z}{v_{\max}} = \frac{\alpha_*}{\xi_1} \frac{J_0(m\xi)}{J_1(m\xi_1)}$$

Значения  $m$  и  $\alpha_*$  в (3) не являются независимыми. В критическом сечении сопла ( $\xi_1 = 1$ ) связь между ними находится из условия реализации максимального (для данной интенсивности вращения  $\alpha_*$ ) расхода газа [3]



Фиг. 1

$$(4) \quad (dG_r/dm)_{\alpha_*} = 0$$

$$(5) \quad G_r = \int \rho v_z d\sigma = 2\pi R_*^2 \rho v_{\max} \alpha_* \times \\ \times \int_0^1 \left( 1 - \alpha_*^2 \frac{J_0^2(m*\xi) + J_1^2(m*\xi)}{J_1^2(m*)} \right)^{\frac{1}{(\gamma-1)}} \times \\ \times \frac{J_0(m*\xi)}{J_1(m*)} \xi d\xi$$

Результат совместного решения (4) и (5) для разных значений  $\gamma = c_p/c_v$  представлен на фиг. 1 (кривые 1—3 соответствуют  $\gamma = 1.60, 1.40$  и  $1.25$ ). При малых  $m_*$  и  $\alpha_*$  имеет место соотношение

$$m_* = 2\alpha_* \sqrt{(\gamma+1)/(\gamma-1)}$$

Зависимость относительного коэффициента расхода  $A_r/A_0 = G_r/G_0$  сопла для винтового потока от интенсивности завихренности  $\alpha_*$  изучена в [3].

Вектор тяги сопла составляется из реактивной и статистической составляющих

$$\mathbf{T} = \int_{\sigma_a} \rho v_n \mathbf{v} d\sigma + \int_{\sigma_a} p \mathbf{n} d\sigma$$

В предположении квазидномерности течения (когда радиальная составляющая скорости на выходе из диффузора считается малой) отсюда следует

$$(6) \quad T = \int_{\sigma_a} (p + \rho v_z^2) d\sigma - p_n \sigma_a$$

При истечении из сопла без расширяющейся части в пренебрежении атмосферным давлением  $p_n$  формула (6) трансформируется в

$$(7) \quad T_* = \int_{\sigma_*} (p + \rho v_z^2) d\sigma$$

Для вычисления этого интеграла необходимо только знание распределения параметров в критическом сечении, которое дается формулами (3) и зависимостями фиг. 1. Отношение тяги винтового потока к тяге одномерного при неизменном давлении торможения  $p_t$  для сопла-очка равно

$$(8) \quad \left( \frac{T_r}{T_0} \right)_* = \left( \frac{\gamma+1}{2} \right)^{\frac{1}{\gamma-1}} \int_0^1 \left[ 1 - \alpha_*^2 \frac{J_0^2(m_* \xi) + J_1^2(m_* \xi)}{J_1^2(m_*)} \right]^{\frac{1}{\gamma-1}} \times \\ \times \left[ 1 - \alpha_*^2 \frac{J_1^2(m_* \xi) - \frac{\gamma+1}{\gamma-1} J_0^2(m_* \xi)}{J_1^2(m_*)} \right] \xi d\xi$$

Для малых  $\alpha_*$  соотношения (5) и (8) принимают вид

$$\frac{G_r}{G_0} \simeq 1 - \frac{\gamma+1}{4(\gamma-1)} \alpha_*^2, \quad \left( \frac{T_r}{T_0} \right)_* \simeq 1 - \frac{\gamma}{2(\gamma-1)} \alpha_*^2$$

В [3] показано, что формулы (5) и (8) хорошо описывают экспериментальные данные по истечению вихревого закрученного потока из сопла без диффузора.

Расчет тяговых характеристик сопла со сверхзвуковой частью требует знания параметров потока в любом сечении по длине диффузора. В пределах квазиодномерного приближения распределения скоростей описываются формулами (3), где  $m$  параметрически зависит от  $\xi_1 = R(z)/R_*$ . Параметрическую связь  $m(\xi_1)$  можно найти, воспользовавшись условием сохранения потока массы в любом сечении. Если обозначить через  $\Pi(m, \alpha_*, \xi_1)$  значение интеграла

$$\Pi(m, \alpha_*, \xi_1) = \frac{1}{\xi_1} \int_0^{\xi_1} \left[ 1 - \frac{\alpha_*^2 J_0^2(m \xi) + J_1^2(m \xi)}{J_1^2(m \xi_1)} \right]^{\frac{1}{\gamma-1}} \frac{J_0(m \xi)}{J_1(m \xi_1)} \xi d\xi$$

то условие сохранения примет вид

$$(9) \quad \Pi(m, \alpha_*, \xi_1) = \Pi(m_*, \alpha_*, 1)$$

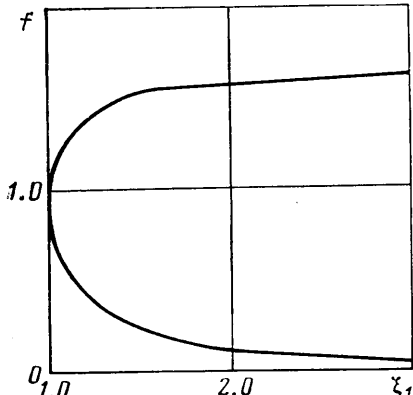
Численное решение (9) для частных примеров при  $\gamma=1.25$  дает следующие соотношения  $m(\xi_1)$  в диффузоре: для  $\alpha_*=0.180$  при  $\xi_1=1.0$ ,  $m_*=1.07$ ;  $\xi_1=1.5$ ,  $m=0.258$ ;  $\xi_1=2.0$ ,  $m=0.129$ ;  $\xi_1=2.5$ ,  $m=0.078$ ; для  $\alpha_*=0.275$  тем же значениям  $\xi_1$  соответствуют  $m=1.53$ ,  $0.383$ ,  $0.193$ ,  $0.117$ ; для  $\alpha_*=0.35$  при  $\xi_1=1.0$ ,  $1.5$  и  $2.25$ ,  $m=1.75$ ,  $0.468$  и  $0.183$ . Чтобы пояснить физический смысл зависимости  $m(\xi_1)$ , получим ее иным способом, воспользовавшись фундаментальным свойством винтового потока — постоянством отношения  $\rho/m$  вдоль каждой линии тока (это видно из равенства нулю якобиана в (1)). Так как в рассматриваемом приближении  $m$  не зависит от  $\xi$ , то запишем условие  $\rho/m=\text{const}$  для осевой линии, где  $v_\varphi=0$ . Применяя (3) и выражение для плотности газа  $\rho=\rho_+(1-\tilde{v}_\varphi^2 - \tilde{v}_z^2)^{1/(\gamma-1)}$ , получим

$$\xi_1^2 J_1^2(m \xi_1) \left\{ 1 - \left( 1 - \frac{\alpha_*^2}{J_1^2(m_*)} \right) \left( \frac{m}{m_*} \right)^{\gamma-1} \right\} = \alpha_*^2$$

При малых  $\alpha_*$  отсюда

$$(10) \quad f^2 - \frac{2}{\gamma+1} f^{\gamma+1} = \frac{\gamma-1}{\gamma+1} \xi_1^{-4}, \quad f = \frac{m}{m_*}$$

Вид функции  $f(\xi_1)$  для  $\gamma=1.25$  представлен на фиг. 2. Величина  $m/m_*$  неоднозначна при одних и тех же  $\xi_1$ . В области дозвуковых течений (в конфузоре) значение  $f>1$ , а после перехода через критическое сечение тем же  $\xi_1$  соответствуют  $f<1$ . Так как  $f=m/m_*=\rho/\rho^*(m/\rho=\text{const}$  вдоль линии тока), то неоднозначность  $f(\xi_1)$  означает, что при данном  $\xi_1$  течению в конфузоре соответствуют большие плотности газа, чем в диффузоре (поток разгоняется).



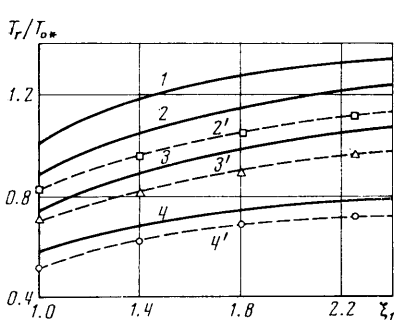
Фиг. 2

Сравнение (10) с расчетом зависимости  $m(\xi_1)$  по закону сохранения массы показывает, что оба условия дают близкие результаты в сверхзвуковой части сопла, где  $f<1$ ; в докритической области, где  $f>1$ , следует пользоваться более точным условием (9).

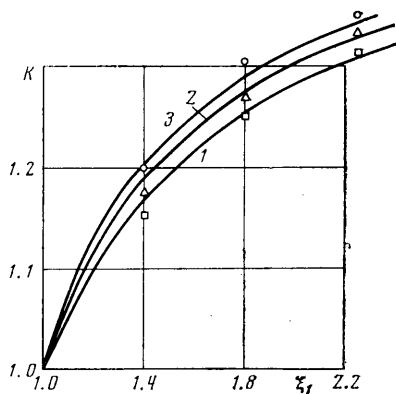
Совместное решение (9) и (6) для разных интенсивностей вращения  $\alpha_*$  и степеней расширения  $\xi_1$ , сопла при  $\gamma=1.25$  представлено на фиг. 3 (кривые 1—4 соответствуют  $\alpha_*=0.18, 0.275, 0.35$ ). Видно, что тяга сверхзвукового

сопла для винтового потока меньше тяги невращающегося газа с тем же  $p$ .

В одномерной теории эффективность работы диффузора принято оценивать величиной коэффициента реактивности сопла  $K=T/T_*$  ( $T_*$  — тяга сопла-очка). Зависимость  $K(\xi_1)$ , рассчитанная по приведенным выше



Фиг. 3



Фиг. 4

формулам для  $\gamma=1.25$  и  $\alpha_*=0.18, 0.275, 0.35$  (кривые 1—3 соответственно), дана на фиг. 4.

Перераспределение давления в винтовом потоке вызывает увеличение статической составляющей тяги и повышает эффективность работы диффузора по сравнению с обычным течением. Этот вывод согласуется с данными работы [7], где изучалось потенциальное движение вращающегося газа.

Для проверки выводов теории были проведены эксперименты на соплах с конической сверхзвуковой частью при винтовом истечении закрученного потока газа с  $\gamma=1.25$ . Оказалось, что с увеличением интенсивно-

сти вращения  $\alpha_*$  максимум тяги падает, а оптимальный угол  $2\beta$  раскрытия диффузора увеличивается. Так, если для одномерного потока оптимум  $\beta$  лежит около  $12^\circ$ , то при  $\alpha_*=0.18$   $\beta \approx 15^\circ$ , а при  $\alpha_*=0.35$   $\beta \approx 20^\circ$  (для сопла с  $\xi_1=2.25$ ).

Экспериментальные данные по величинам относительной тяги и коэффициента реактивности при истечении вращающегося газа из сопла с оптимальным (для данной интенсивности закрутки  $\alpha_*$ ) углом  $\beta$  конусности сверхзвуковой части представлены точками на фиг. 3 и 4. Расхождение квазиодномерной теории с экспериментом не превышает 10%.

Поступила 26 II 1975

#### ЛИТЕРАТУРА

1. Черный Г. Г. Закрученные течения сжимаемого газа в каналах. Изв. АН СССР, ОТН, 1956, № 6.
2. Mager A. Approximate Solution of Isentropic Swirling Flow Through a Nozzle. ARS J. 1961, No. 8.
3. Гостинцев Ю. А. Расходные характеристики сопла при истечении винтового потока газа. Изв. АН СССР, МЖГ, 1969, № 4.
4. Lewellen W. S., Burns W. J., Strickland H. J. Transonic swirling flow. AIAA Journal, 1969, vol. 7, No. 7.
5. Славянов Н. Н. Теоретическое исследование закрученных течений идеального газа в сопле Лаваля. Изв. АН СССР, МЖГ, 1973, № 6.
6. Гостинцев Ю. А., Успенский О. А. О течении газа по соплу при ячеистой структуре вихревого потока. Изв. АН СССР, МЖГ, 1974, № 4.
7. Наумова И. Н., Шмыглевский Ю. Д. Увеличение тяги сопла вращением потока. Изв. АН СССР, МЖГ, 1967, № 1.
8. Рычков А. Д. Расчет закрученного течения идеального газа в сопле Лаваля. Изв. АН СССР, МЖГ, 1971, № 5.
9. Тилляева Н. И. О профилировании сверхзвуковых частей осесимметричных сопел для неравномерных и закрученных течений. ЦИАМ, Техн. отчет, 1974, № 7284.